
UNE REMARQUE SUR L'ARBORIFICATION DE MATULA

par

Dominique Manchon

Résumé. — Nous esquissons une application de l’arborification de Matula à l’étude de la fonction sommatoire des fonctions de Möbius et de Liouville sur les entiers naturels.

Abstract. — We sketch an application of Matula’s arborification to the study of the partial sums of both Möbius and Liouville function.

Table des matières

1.	Introduction	1
2.	Quelques inégalités concernant les nombres premiers	3
3.	Entiers naturels et arbres	5
4.	Etude des fonctions sommatoires des fonctions de Möbius et de Liouville	6
	Appendice A : tableau de valeurs pour le rapport $p_k p_l / p_{kl}$	8
	Appendice B : arborification des nombres entiers de 1 à 1000	9
	Appendice C : un exemple d’appariement des nombres de 1 à 1000 sans facteurs carrés	15
	Appendice D : de 1 à 199	17
	Appendice E : de 1 à 96 avec les facteurs carrés	17
	Appendice F : de 1 à 1000 avec les facteurs carrés	18
	Plusieurs manières d’obtenir un nombre premier par fusion des racines	21
	Références	21

1. Introduction

Deux ans avant la parution du célèbre mémoire de B. Riemann [27] dans lequel il formule pour la première fois l’hypothèse qui porte son nom (les zéros non triviaux de la fonction zéta ont tous, conjecturalement, une partie réelle égale à $1/2$), A. Cayley introduisait les arbres enracinés dans le but d’étudier les champs de vecteurs sur un espace affine [9]. La correspondance qu’il introduit est maintenant parfaitement comprise en termes de structures pré-Lie sur l’espace des champs de vecteurs ainsi que sur l’espace vectoriel engendré par les arbres [10, 15], et a trouvé des applications inattendues en analyse numérique [4].

Un arbre enraciné est un graphe orienté connexe, que nous supposerons à nombre fini de sommets, tel que chaque sommet admet une et une seule arête entrante, sauf un sommet particulier, la *racine*, qui n’admet aucune arête entrante. Nous dessinerons les arbres enracinés avec la racine en bas, les arêtes étant orientées de bas en haut. Une forêt est une collection finie d’arbres enracinés, avec répétitions possibles.

A notre connaissance, le premier à avoir introduit les arbres enracinés en théorie des nombres est D. W. Matula en 1968 [24, 25], qui a construit un isomorphisme \mathcal{A} de monoïdes commutatifs entre l’ensemble $\mathbb{N}^* = \{1, 2, 3, \dots, n, \dots\}$ des entiers naturels non nuls et l’ensemble \mathcal{F} des forêts d’arbres enracinés, chaque

facteur premier correspondant à un arbre constituant la forêt⁽¹⁾. Ecrit de manière très condensée (une quinzaine de lignes tout au plus), l'article de Matula semble être passé inaperçu dans un premier temps. Sa correspondance a été redécouverte notamment par D. F. Goebel [19], P. Cappello [6], ou encore J. Sousselier, ce dernier proposant un exposé assez détaillé [31]. On peut aussi citer L. Alexandrov [1], et plus récemment R. G. Batchko [2]. Ces auteurs explorent des notions voisines, bien que les arbres ne figurent pas explicitement dans leurs travaux. Cette bijection a toutefois été popularisée par S. B. Elk, I. Gutman et A. Ivić en 1993, dans un article où ces auteurs l'utilisent pour coder les molécules des alcanes C_nH_{2n+2} en chimie organique [16]. L'expression "nombres de Matula" ("Matula numbers") apparaît à cette occasion. Notons que de nombreuses caractéristiques d'un arbre enraciné donné peuvent se traduire sur le nombre de Matula correspondant [12, 21]. Un lien avec la mécanique quantique a été suggéré dans [26].

L'isomorphisme de Matula est défini récursivement par $\mathcal{A}(1) = \emptyset$ (la forêt vide) et :

$$(1) \quad \mathcal{A}(p_n) = B_+(\mathcal{A}(n)),$$

où p_n désigne le n -ième nombre premier, et où B_+ est la bijection canonique des forêts vers les arbres qui consiste à rajouter une racine commune à tous les arbres de la forêt. Par convention B_+ envoie la forêt vide sur l'arbre à un seul sommet \bullet . Ci-dessous la liste des entiers de 1 à 20 et les forêts correspondantes :

n	1	2	3	4	5	6	7	8	9	10	11	12	13	14	15	16	17	18	19	20
$\mathcal{A}(n)$	\emptyset	\bullet																		

Ci-dessous la liste des arbres enracinés à 1, 2, 3, 4 et 5 sommets, et les nombres premiers qui leur correspondent :

t	\bullet																		
$\mathcal{A}^{-1}(t)$	2	3	5	7	11	17	13	19	31	59	41	67	29	23	43	37	53		

Il existe des applications en ligne qui fournissent la forêt associée à un nombre entier, par exemple [11] pour les nombres de 1 à un milliard. En appliquant des coupes élémentaires sur les arbres, on peut donc associer à un nombre premier un produit de deux facteurs premiers, et ce de plusieurs manières possibles suivant le choix de la coupe. Inversement on peut fabriquer un nombre premier à partir de deux en greffant le premier arbre sur un sommet du deuxième, par exemple sa racine. C'est la définition du *produit de Butcher* $(s, t) \mapsto s \circ t$ de deux arbres [4]. Par exemple :

$$\bullet \circ \bullet = \begin{array}{c} \bullet \\ \backslash \quad / \\ \bullet \end{array}, \quad \bullet \circ \bullet = \begin{array}{c} \bullet \\ / \quad \backslash \\ \bullet \end{array}$$

L'ensemble des arbres enracinés muni du produit de Butcher présente une forme simplifiée de structure pré-Lie que l'on appelle NAP (pour "non-associative permutative") [22]. C'est très précisément le magma NAP libre à un générateur [15], ce qui permet d'écrire tout arbre comme produit de Butcher itérés de l'arbre \bullet , et ce de manière essentiellement unique⁽²⁾.

On transportera sur \mathcal{F} l'ordre total des entiers naturels⁽³⁾ via l'arborification \mathcal{A} . Un premier résultat concernant l'application du produit de Butcher à la théorie des nombres est l'inégalité suivante :

⁽¹⁾Dans sa formulation originale, la correspondance de Matula associe un arbre à chaque nombre. Nous avons choisi d'associer plutôt la forêt obtenue en rassemblant toutes les branches constituant l'arbre par greffe sur la racine.

⁽²⁾De manière analogue, le K -espace vectoriel engendré par les arbres (où K est un corps) est l'algèbre pré-Lie libre à un générateur [10, 15]. La structure pré-Lie est donnée par la somme sur toute les manières de greffer le premier arbre sur un sommet du deuxième, au lieu de se limiter à une greffe sur la racine. On remarque que la structure NAP est ensembliste alors que la structure pré-Lie ne l'est pas, puisqu'elle requiert des combinaisons linéaires formelles d'arbres.

⁽³⁾Le bon ordre des entiers naturels fournit le plus petit ordinal infini dénombrable ω . Il est très différent du bon ordre naturel sur l'ensemble des forêts qui l'identifie au plus petit ordinal ε_0 vérifiant $\varepsilon_0 = \omega^{\varepsilon_0}$, autrement dit $\varepsilon_0 = \omega^{\omega^{\omega^{\dots}}}$. Ce bon ordre sur les forêts provient de la forme normale de Cantor [7, 8] pour chaque ordinal $\lambda < \varepsilon_0$. Voir par exemple [32, 33].

Proposition 1. — Pour tout couple d’arbres (s, t) excepté (\bullet, \bullet) et $(\dot{\bullet}, \bullet)$ on a :

$$(2) \quad s \circ t > st.$$

Cette proposition découle d’un résultat plus général, à savoir :

Proposition 2 (Gutman-Ivić [20]). — $p_{an} > ap_n$ pour tout $a, n \in \mathbb{N}^*$, $a \geq 2$ excepté pour $n = 1$ et $a = 2, 3, 4$.

La proposition 1 en découle immédiatement en se limitant aux a premiers et en appliquant l’arborification. La proposition 2 est obtenue comme un corollaire des encadrements fins de Massias, Robin et Dusart [23, 14] (améliorant les résultats antérieurs de Rosser et Schoenfeld [28]) concernant la fonction $n \mapsto p_n$. Nous en redonnons une preuve pour la commodité du lecteur.

L’ensemble des arbres enracinés est par ailleurs muni d’un produit associatif et commutatif, le *produit de fusion*, obtenu en fusionnant les racines des deux arbres en une seule. Par exemple :

$$(3) \quad \bullet \vee \bullet = \bullet \bullet.$$

L’encadrement de Massias, Robin et Dusart permet également d’obtenir une série d’inégalités relatives au produit de fusion :

Proposition 3. — On a l’inégalité $s \vee t < st$ sauf pour $\{s, t\} = \{\bullet, \bullet\}$ ou $\{s, t\} = \{\bullet, \dot{\bullet}\}$. Autrement dit $p_{mn} < p_m p_n$ sauf si $\{m, n\} = \{3, 4\}$ ou $\{m, n\} = \{4, 4\}$.

La fonction de Möbius μ est donnée par $\mu(k) = 0$ si k contient au moins un facteur carré, et $\mu(k) = (-1)^{\|k\|}$, où $\|k\|$ est le nombre de facteurs premiers de k , si ceux-ci sont tous distincts. Elle est multiplicative. La fonction de Liouville, complètement multiplicative, est définie par $\lambda(k) = (-1)^{\|k\|}$, où $\|k\|$ est le nombre de facteurs premiers de k . Les égalités

$$\frac{1}{\zeta(s)} = \sum_{k \geq 1} \frac{\mu(k)}{k^s}, \quad \frac{\zeta(2s)}{\zeta(s)} = \sum_{k \geq 1} \frac{\lambda(k)}{k^s}$$

illustrent l’importance de ces fonctions pour l’étude de la fonction Zeta de Riemann. En application des propositions 1 et 3, nous esquissons une méthode de majoration en valeur absolue des fonctions sommatoires des fonctions de Möbius et de Liouville :

$$(4) \quad M(n) := \sum_{k=1}^n \mu(k), \quad L(n) := \sum_{k=1}^n \lambda(k)$$

en rangeant les nombres entre 1 et n par paires $\{a, b\}$ avec $\mu(a) + \mu(b) = 0$ ou $\lambda(a) + \lambda(b) = 0$. Précisons à ce stade que nous n’obtenons aucun résultat qui soit de nature à améliorer notre connaissance de la fonction ζ . Mais, après élimination des paires $\{a, b\}$ ainsi formées, les faibles valeurs de $|M(n)|$ et de $|L(n)|$ sautent aux yeux pour toute valeur de n inférieure à quelques centaines. Nous espérons avoir ainsi montré que l’arborification de Matula pourrait être autre chose qu’une simple curiosité.

2. Quelques inégalités concernant les nombres premiers

Le but de cette première section est de démontrer les propositions 2 et 3. Nous partirons de l’encadrement suivant (Massias et Robin [23, Théorème A], amélioré par P. Dusart [14]) :

$$(5) \quad n(\log n + \log \log n - 1) \leq p_n \leq n \left(\log n + \log \log n - 1 + 1.8 \frac{\log \log n}{\log n} \right)$$

pour tout $n \geq 13$. Notons que la borne inférieure dans (5), due à P. Dusart, est valide pour tout $n \geq 2$. Notons aussi qu’une version un peu moins fine de cet encadrement est utilisée dans [13] pour montrer une propriété d’extrémalité des nombres de Matula correspondant à une famille spécifique d’arbres et de forêts, appelés chenilles binaires (binary caterpillars) par l’auteur.

2.1. Démonstration de la Proposition 2. — La fonction $x \mapsto \log \log x / \log x$ atteint son maximum en $x = e^e \simeq 15.1542\dots$ Ce maximum vaut $e^{-1} = 0,3678\dots$ On a donc d’après (5) l’encadrement pour tout $n \geq 13$:

$$(6) \quad n(\log n + \log \log n - 1) \leq p_n \leq n(\log n + \log \log n - 0.337).$$

On a donc pour tout $a \geq 2$ et $n \geq 13$:

$$ap_n \leq an \log n + an \log \log n - 0.337an,$$

alors que :

$$\begin{aligned} p_{an} &\geq an \log(an) + an \log \log(an) - an \\ &\geq an \log n + an \log \log n + an(\log a - 1). \end{aligned}$$

On a donc $p_{an} \geq ap_n$ dès que $\log a \geq 0.663$, soit $a \geq 1.9406\dots$. Tout $a \geq 2$ convient donc. Reste à examiner le cas où n est compris entre 1 et 12. On fixe donc un tel n . Il y a $n+1$ nombres premiers entre $p_{(a-1)n}$ et p_{an} , bornes comprises.

Lemme 4. — Supposons que le couple (a, n) soit différent de $(2, 1)$. Alors pour tout nombre premier q , il existe au moins un résidu modulo q absent du $n+1$ -uplet $\{p_{(a-1)n}, p_{(a-1)n+1}, \dots, p_{an}\}$.

Démonstration. — Supposons qu'il existe un nombre premier q qui contredise cette assertion. On a forcément $n+1 \geq q$. Le résidu 0 étant présent dans la suite $\{p_{(a-1)n}, p_{(a-1)n+1}, \dots, p_{an}\}$, il existe $j \in \{0, \dots, n\}$ tel que $q = p_{(a-1)n+j}$. On a donc $n+1 \geq p_{(a-1)n+j}$, ce qui est impossible sauf si $a=2$ et $n \in \{1, 2\}$. Tous les résidus modulo 2 apparaissent dans $\{p_1, p_2\} = \{2, 3\}$, mais 0 modulo 2 n'apparaît pas dans $\{p_2, p_3\} = \{3, 5\}$, ce qui réduit l'ensemble des couples à rejeter au singleton $\{(2, 1)\}$. \square

La différence $p_{an} - p_{(a-1)n}$ est donc supérieure à la longueur minimale $c(n)$ d'un $n+1$ -uplet de nombres premiers consécutifs "assez grands" ([30, A008407]). On a $c(n) \geq p_n$ pour $1 \leq n \leq 12$, comme on le voit sur le tableau suivant :

n	1	2	3	4	5	6	7	8	9	10	11	12
p_n	2	3	5	7	11	13	17	19	23	29	31	37
$c(n)$	2	6	8	12	16	20	26	30	32	36	42	48

On a donc $p_{an} > ap_n$ dès que a est différent de 2. Enfin $p_2 < 2p_1$, $p_3 < 3p_1$ et $p_4 < 4p_1$, mais on a clairement $p_5 > 5p_1$ et par suite $p_a > ap_1$ pour tout $a \geq 5$. Ceci termine la démonstration de la proposition 2. La proposition 1 en est un corollaire immédiat.

2.2. Démonstration de la proposition 3. — On utilise à nouveau l'encadrement (6) : dans le cas $k \geq 14$ et $l \geq 14$ il suffit donc de montrer l'inégalité :

$$(7) \quad (\log k + \log \log k - 1)(\log l + \log \log l - 1) - (\log k + \log l + \log \log(kl) - 0.337) \geq 0.$$

Posant $K = \log k$ et $L = \log l$, l'inégalité s'écrit $f(K)f(L) - f(K+L) + 0.663 \geq 0$, où $f(x) = x + \log x - 1$ est croissante sur $[\log 14, +\infty[$. La fonction $(K, L) \mapsto f(K)f(L) - f(K+L) + 0.663$ atteint donc son minimum en $K = L = \log 14$, et on a :

$$(8) \quad (\log 14 + \log \log 14 - 1)^2 - (2 \log 14 + \log(2 \log 14) - 0.337) = 0.205\dots \geq 0,$$

et donc $p_k p_l \geq p_{kl}$ pour $k, l \geq 14$. Notons que l'inégalité (8) devient fausse si on remplace 14 par 13. Dans le cas $k \leq 13$ et $l \geq 13$ on a

$$\begin{aligned} p_{kl} &\leq kl(\log k + \log l + \log(\log k + \log l) - 0.337) \text{ et} \\ p_k p_l &\geq p_k l(\log l + \log \log l - 1), \end{aligned}$$

d'où finalement :

$$\begin{aligned} p_k p_l - p_{kl} &\geq l((p_k - k) \log l + p_k \log \log l - k \log \log(kl) - k \log k - p_k + 0.337k) \\ &\geq l((p_k - k) \log l + p_k \log \log l - k \log((\log l)(1 + \frac{\log k}{\log l})) - k \log k - p_k + 0.337k) \\ &\geq l((p_k - k) \log l + p_k \log \log l - k \log \log l - k \frac{\log k}{\log l} - k \log k - p_k + 0.337k) \\ &\geq l((p_k - k)(\log l + \log \log l - 1) - k(\frac{\log k}{\log l} + \log k + 0.663)). \end{aligned}$$

Le cas $k = 1$ étant trivial, on regarde sur $[13, +\infty[$ la fonction :

$$l \mapsto f_k(l) := (p_k - k)(\log l + \log \log l - 1) - k(\frac{\log k}{\log l} + \log k + 0.663)$$

pour $2 \geq k \geq 13$. La fonction f_k est croissante. Le calcul numérique explicite donne $f_2(21) < 0 < f_2(22)$, $f_3(21) < 0 < f_3(22)$ et $f_4(23) < 0 < f_4(24)$. On a ensuite $f_5(13) > 0$, $f_6(14) < 0 < f_6(15)$, $f_8(13) < 0 < f_8(14)$, et finalement $f_k(13) > 0$ pour $k = 7, 9, 10, 11, 12$ et 13. On a représenté en appendice les valeurs de $p_k p_l$ et

de p_{kl} (sous la forme du rapport $\frac{p_k p_l}{p_{kl}}$) pour les cas qui restent à examiner, à savoir les paires $\{k, l\}$ avec k et l entre 1 et 13, et les paires avec $l \geq 14$ et $f_k(l) < 0$. On s'est limité par symétrie au cas $k \leq l$: toutes les paires représentées donnent un rapport inférieur à 1 sauf les deux paires exceptionnelles $\{3, 4\}$ et $\{4, 4\}$, ce qui termine la preuve de la proposition 3.

2.3. Démonstration d'une conjecture de J. Sousselier. — Pour tout entier $n \geq 2$, Jean Sousselier conjecture l'inégalité suivante ("conjecture préalable", [31]) :

$$(9) \quad \frac{p_n}{n} \leq \frac{P_{p_n}}{p_n}.$$

L'inégalité (9) est immédiatement vérifiée pour $n = 2, 3, 4, 5$. Pour $n \geq 6$ il suffit d'utiliser l'encadrement de Rosser et Schoenfeld [28] :

$$(10) \quad \log n \leq \frac{p_n}{n} \leq \log n + \log \log n.$$

On en déduit immédiatement :

$$\log n \leq \frac{p_n}{n} \leq \log n + \log \log n = \log(n \log n) \leq \log p_n \leq \frac{P_{p_n}}{p_n},$$

ce qui démontre (9).

2.4. Encore une inégalité sur les nombres premiers. —

Proposition 5. — Pour tout entier $n \geq 12$ on a :

$$(11) \quad p_n > 3n.$$

Démonstration. — L'inégalité $p_n \geq n \log n$ fournit la démonstration pour $n \geq 21$ (en utilisant $e^3 = 20.08\dots$). L'examen des vingt premiers nombres premiers montre que l'inégalité est en fait vérifiée dès $n = 12$. \square

En termes d'arbres, on peut en déduire qu'un arbre t à une seule branche est toujours supérieur à la forêt  t'

où t' est défini par $t = t' \circ \rightarrow \bullet$, sauf si $t = \bullet, \bullet, \bullet, \bullet, \bullet$ ou . Par exemple  $>$ , soit $59 > 51$.

3. Entiers naturels et arbres

3.1. La structure non-associative permutative sur les arbres. — Un *magma non-associatif permutatif* (ou "magma NAP") [15, 22] est un ensemble E muni d'une loi interne binaire \blacktriangleright telle que :

$$(12) \quad x \blacktriangleright (y \blacktriangleright z) = y \blacktriangleright (x \blacktriangleright z).$$

Le terme "commutatif à gauche" est parfois utilisé à la place de NAP⁽⁴⁾. En-dehors des exemples évidents fournis par les monoïdes abéliens, le prototype est fourni par l'ensemble \mathcal{T} des arbres enracinés munis du produit de Butcher. Plus précisément [15], $(\mathcal{T}, \circ \rightarrow)$ est le monoïde NAP libre à un générateur. La relation (12) s'exprime par le fait que l'ordre de greffage des branches sur la racine n'a pas d'importance.

3.2. Retour sur l'arborification de Matula-Goebel-Cappello. — L'utilisation de l'arborification $\mathcal{A} : \mathbb{N}^* \rightarrow \mathcal{F}$ définie dans l'introduction permet de transporter le produit de Butcher sur les entiers positifs non nuls, munissant ainsi l'ensemble \mathcal{P} des nombres premiers d'une structure de monoïde NAP. Le produit de Butcher de deux nombres premiers $q = p_m$ et $r = p_n$ est donné par :

$$(13) \quad p_m \circ \rightarrow p_n = p_{p_m n}.$$

La liberté et la mono-génération du monoïde NAP \mathcal{P} s'exprime par le fait que tout nombre premier admet une expression comme produit de Butcher itéré et convenablement parenthésé de $p_1 = 2$, cette expression étant unique modulo les relations (12). Le produit de Butcher est compatible avec l'ordre total, à savoir que si $q \leq q'$ et $r \leq r'$, alors $q \circ \rightarrow r \leq q' \circ \rightarrow r'$. En revanche, comme P. Cappello l'avait remarqué [6], le nombre de sommets

n'est pas une fonction croissante de l'arbre : en effet $\mathcal{A}(53) = \bullet \circ \rightarrow \bullet$ et $\mathcal{A}(59) = \bullet$ ont cinq sommets, alors que

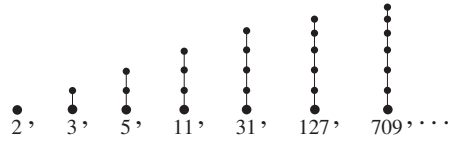
⁽⁴⁾plus exactement "commutatif à droite", car les auteurs ci-dessus utilisent la variante à droite notée \blacktriangleleft , dans laquelle la relation (12) est remplacée par $(x \blacktriangleleft y) \blacktriangleleft z = (x \blacktriangleleft z) \blacktriangleleft y$.

$\mathcal{A}(47) = \begin{array}{c} \bullet \\ \bullet \\ \bullet \end{array}$ en a six. L'inégalité $p_n > 3n$ (Proposition 5) fournit une exemple de ce phénomène pour tout n premier au moins égal à 12 : en effet, $\mathcal{A}(3n)$ possède un sommet de plus que $\mathcal{A}(p_n)$.

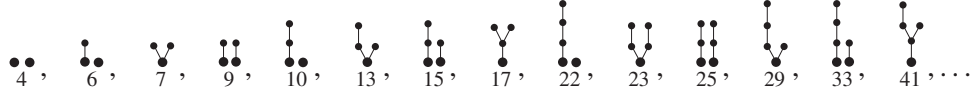
3.3. Sommets, arêtes et feuilles. — La fonction de Gutman-Ivić-Matula $n \mapsto v(n)$, qui associe à un entier n le nombre total de sommets de sa forêt $\mathcal{A}(n)$, est complètement additive. Elle a été étudiée en détail par R. de la Bretèche et G. Tenenbaum [5]. On notera $a(n)$ le nombre total d'arêtes de la forêt $\mathcal{A}(n)$, et $f(n)$ le nombre total de feuilles de la forêt $\mathcal{A}(n)$. Les fonctions a et f sont également totalement additives, et le nombre de facteurs de n est donné par :

$$(14) \quad \|n\| = v(n) - a(n).$$

1 est le seul nombre sans feuilles. Les nombres à une seule feuille constituent la suite des nombres hyper-premiers de Wilson ("Wilson's primeth sequence", [30, A007097]) :



Les premiers nombres à deux feuilles sont :



Pour un tour d'horizon récent des diverses fonctions que l'on peut définir sur les entiers via leur arborification, voir [12].

3.4. Une graduation. — On définit le degré $\delta(n)$ d'un nombre naturel (non nul) n par $\delta(n) = v(n) + a(n)$. Autrement dit :

$$(15) \quad \delta(n) = 2v(n) - \|n\|.$$

Le degré est complètement additif. Il est facile de voir que pour tout entier m , l'ensemble des entiers n de degré m est fini. Ci-dessous, la liste des entiers de degré ≤ 5 avec leur forêt correspondante :

$$\begin{aligned} \text{Degré 0 : } & 1. & \text{Degré 1 : } & \begin{array}{c} \bullet \\ 2 \end{array}. & \text{Degré 2 : } & \begin{array}{c} \bullet \bullet \\ 4 \end{array}. \\ \text{Degré 3 : } & \begin{array}{c} \bullet \\ 3 \end{array}, \begin{array}{c} \bullet \bullet \\ 8 \end{array}. & \text{Degré 4 : } & \begin{array}{c} \bullet \bullet \\ 6 \end{array}, \begin{array}{c} \bullet \bullet \bullet \\ 16 \end{array}. & \text{Degré 5 : } & \begin{array}{c} \bullet \\ 5 \end{array}, \begin{array}{c} \bullet \\ 7 \end{array}, \begin{array}{c} \bullet \bullet \\ 12 \end{array}, \begin{array}{c} \bullet \bullet \bullet \\ 32 \end{array}. \end{aligned}$$

En particulier, le degré δ a même parité que le nombre de facteurs. Pour donner quelques autres exemples,

$\begin{array}{c} \bullet \\ \bullet \\ \bullet \end{array}_{13}$ est de degré 7, $\begin{array}{c} \bullet \\ \bullet \\ \bullet \end{array}_{47}$ est de degré 11, $\begin{array}{c} \bullet \bullet \\ \bullet \bullet \\ \bullet \bullet \end{array}_{57}$ est de degré 10 et $\begin{array}{c} \bullet \bullet \bullet \\ \bullet \bullet \bullet \\ \bullet \bullet \bullet \end{array}_{2597}$ est de degré 19. On remarque que le produit de fusion et la coupe d'une branche abaissent tous les deux le degré d'une unité, puisqu'il en résulte la suppression d'un sommet et d'une arête respectivement.

4. Etude des fonctions sommatoires des fonctions de Möbius et de Liouville

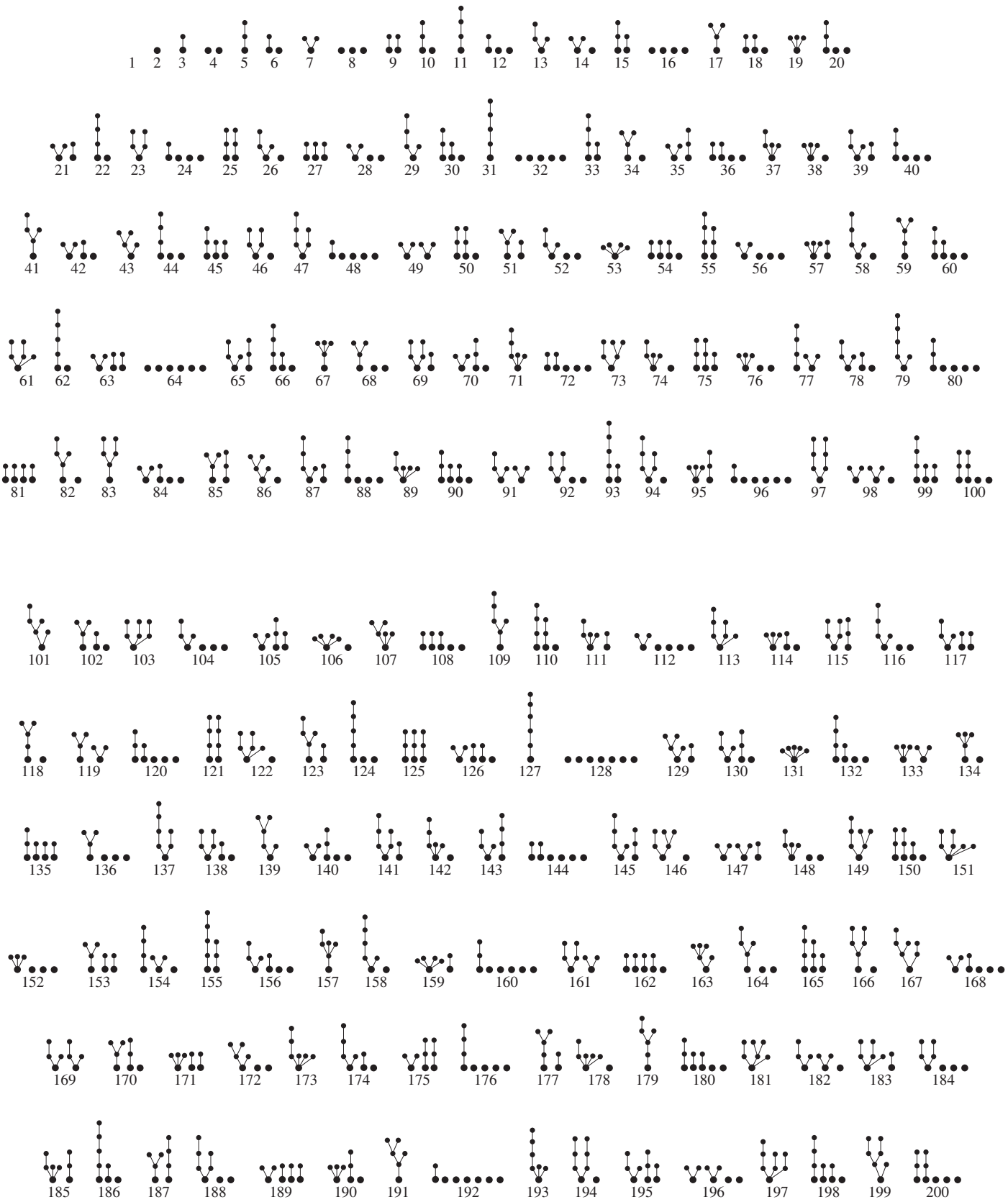
Le propos de cette section est d'obtenir une majoration de $|M(n)|$ pour tout entier n , si possible plus précise que la majoration triviale $|M(n)| \leq n/4$ obtenue en appariant chaque nombre pair sans facteur carré avec sa moitié, ou même que la majoration non triviale $|M(n)| = o(n)$, équivalente au théorème des nombres premiers [29, 17]. Le principe est le suivant : réaliser le plus possible de couplages (k, l) de nombres sans facteur carré à l'intérieur de $\{1, \dots, n\}$ tels que $\mu(k) + \mu(l) = 0$. La majoration cherchée est alors obtenue en comptant les nombres ayant échappé au processus de couplage. Une façon de chercher un partenaire l d'un nombre k (avec $l < k$) consiste à couper l'une des branches de la forêt de k ou, si l'on préfère, à fusionner deux arbres de la forêt (en évitant les quelques exceptions mentionnées plus haut), en prenant soin de ne pas faire apparaître de facteurs carrés. La deuxième opération n'est évidemment possible que si k possède au moins deux facteurs premiers.

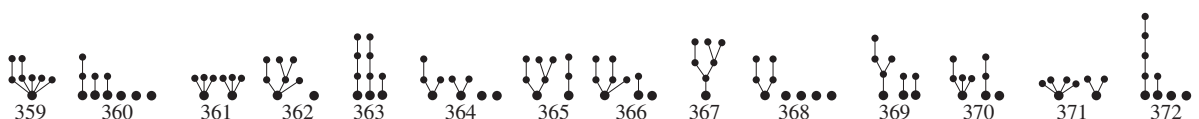
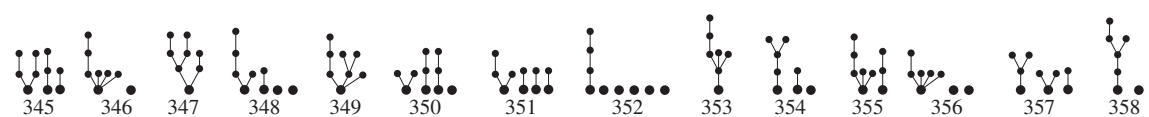
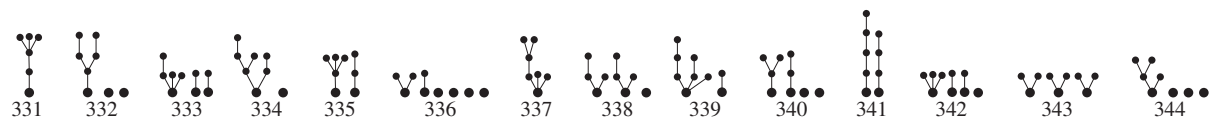
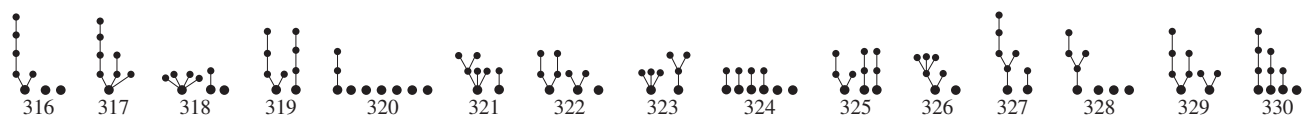
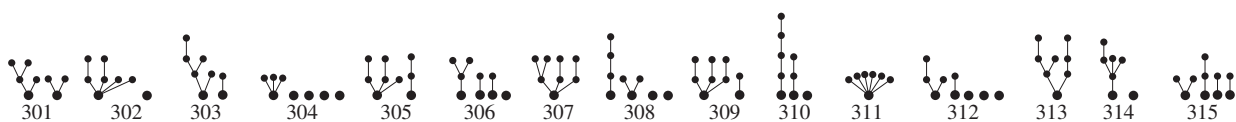
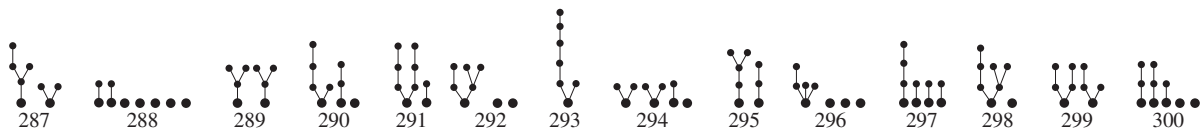
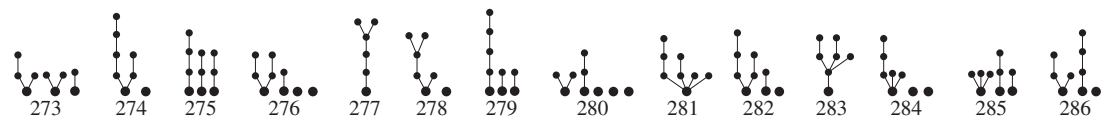
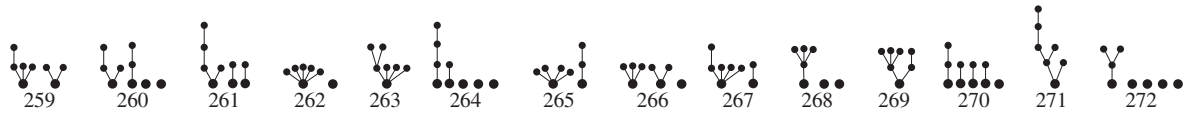
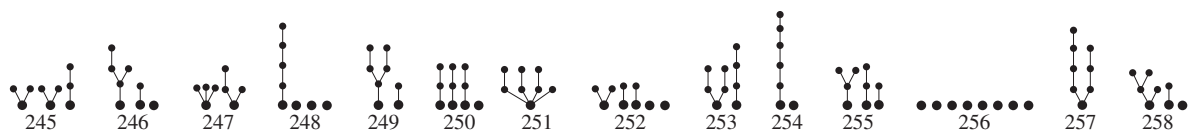
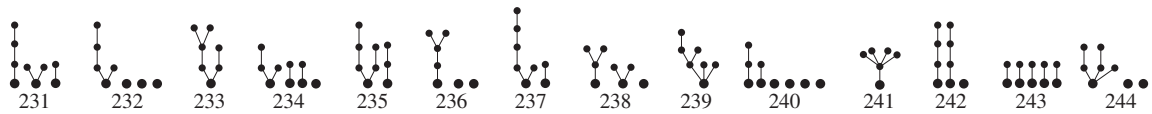
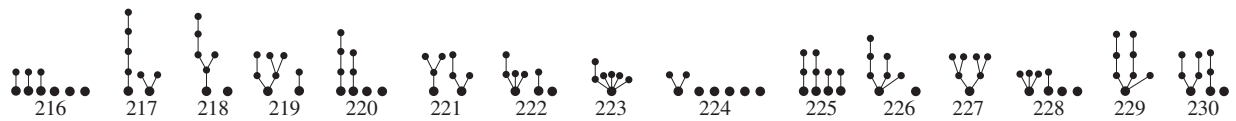
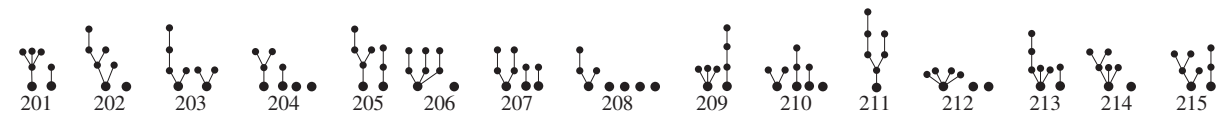
Pour la fonction L sommatoire de la fonction de Liouville, le principe est exactement le même à ceci près qu'on ne se préoccupe pas des facteurs carrés.

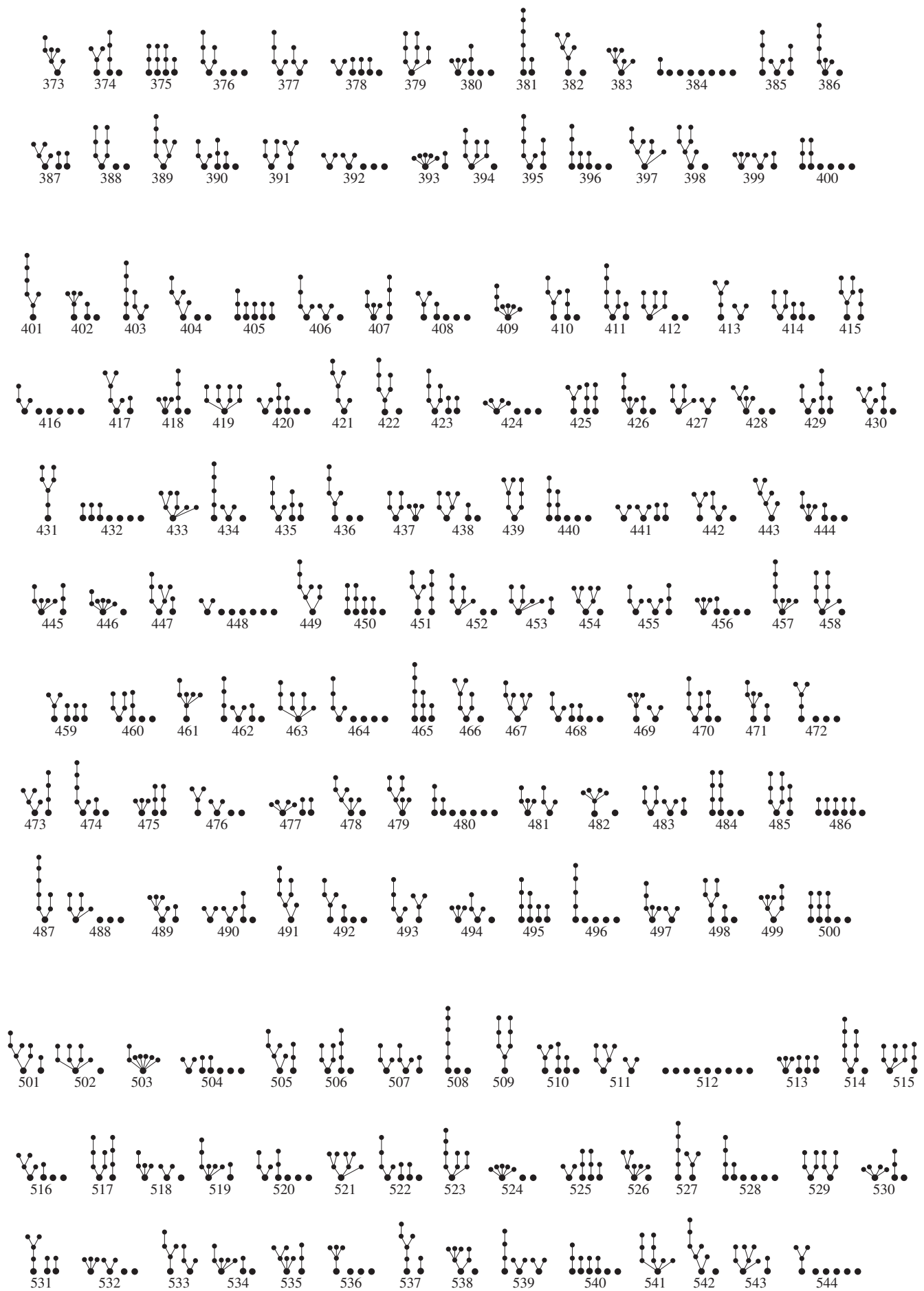
On se heurte rapidement à de nombreuses difficultés. La plus évidente réside dans les multiples choix possibles de branches à couper ou d'arbres à fusionner. Un autre problème apparaît d'emblée lorsqu'on veut réaliser plusieurs couplages : il peut se faire que tous les partenaires l possibles d'un nombre k resté seul soient déjà membres d'une paire formée précédemment. Les exemples donnés ci-dessous pour des petites valeurs de n (Appendice C) semble toutefois indiquer que la méthode fonctionne bien, reste à expliquer pourquoi...

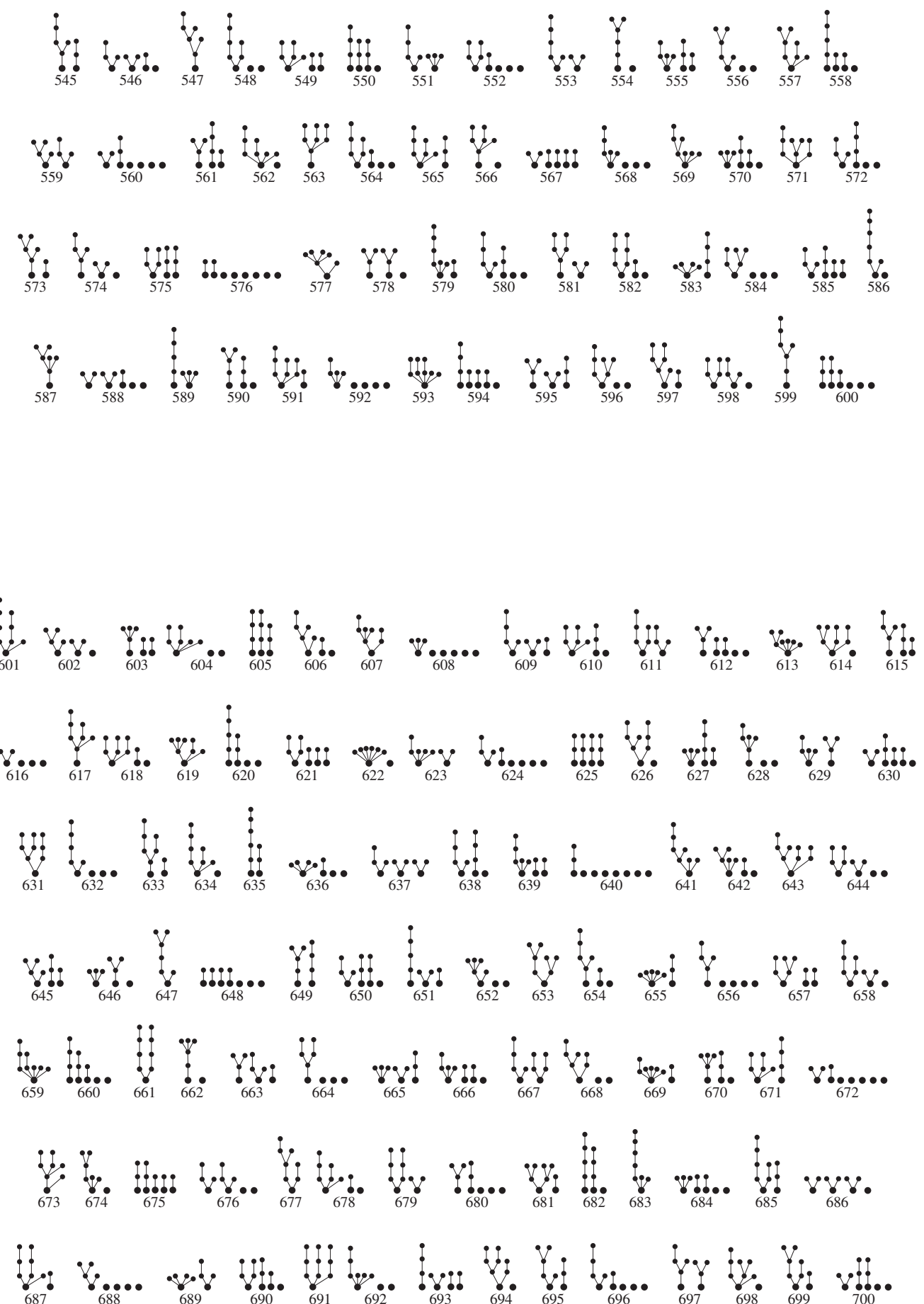
Appendice A : tableau de valeurs pour le rapport $p_k p_l / p_{kl}$

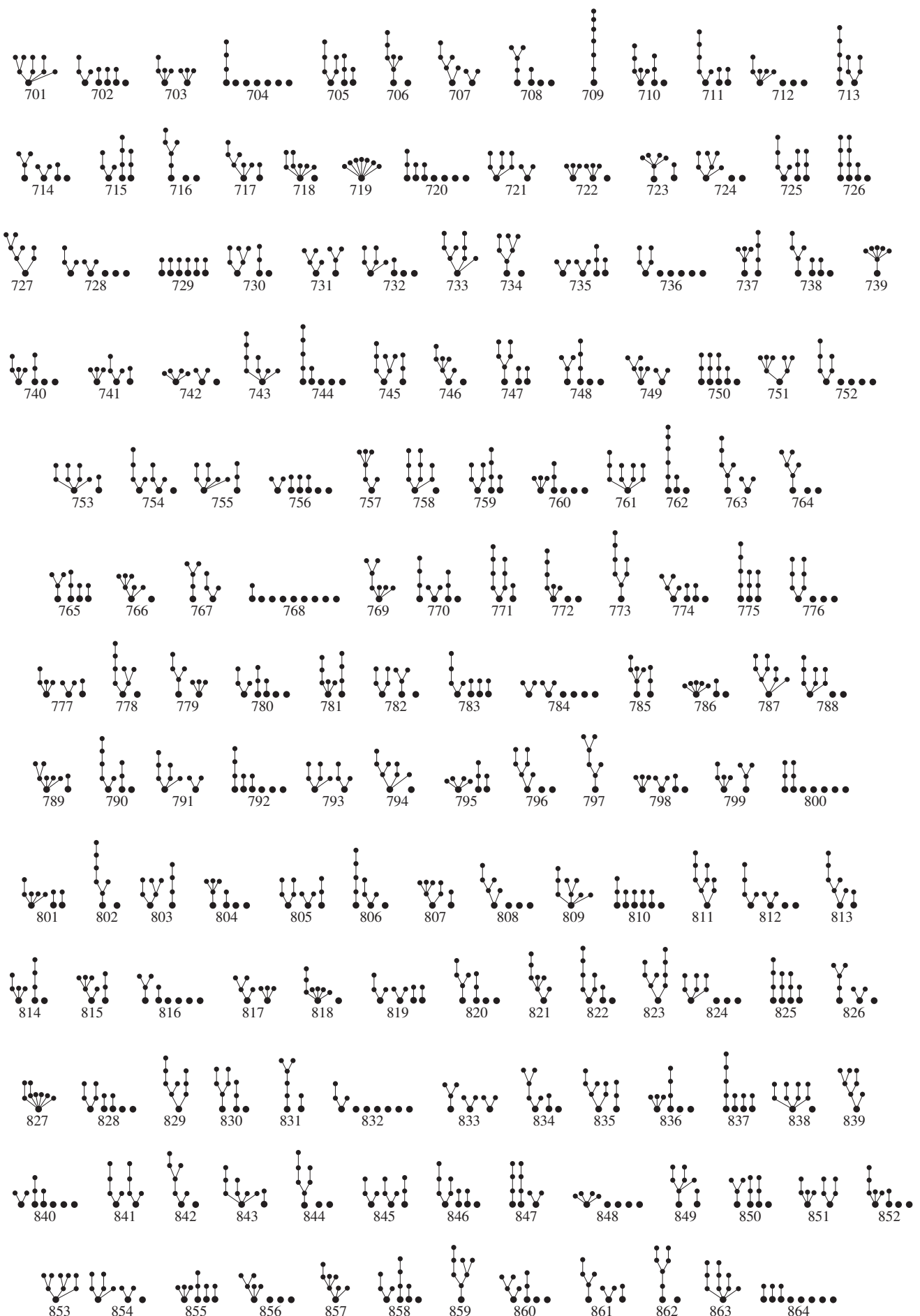
Appendice B : arborification des nombres entiers de 1 à 1000







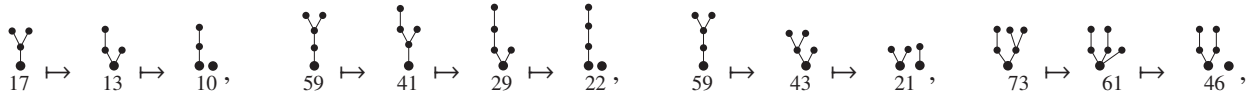




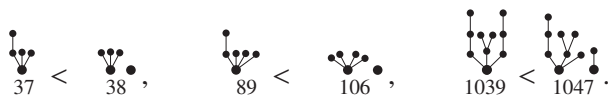


Appendice C : un exemple d'appariement des nombres de 1 à 1000 sans facteurs carrés

L'appariement se fait par ordre décroissant, en appliquant au nombre choisi n une des opérations de coupe ou de fusion des racines décrites précédemment, afin de l'apparier avec un nombre n' plus petit que lui, tel que $\mu(n) + \mu(n') = 0$. Les coupes au-dessus d'un sommet autre que la racine sont licites :

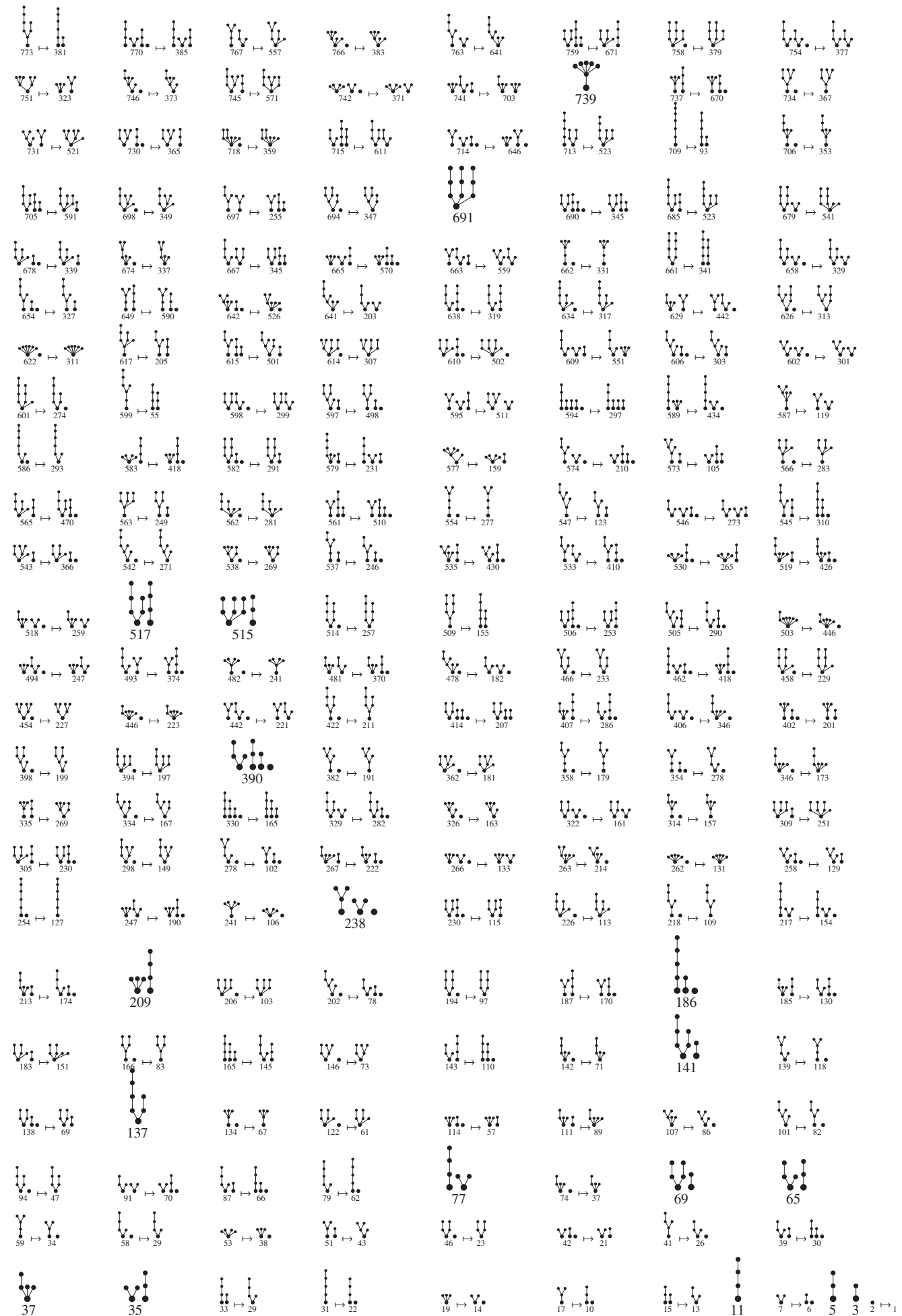


à condition d'éviter les situations dérivées des deux exceptions mentionnées ci-dessus. Par exemple

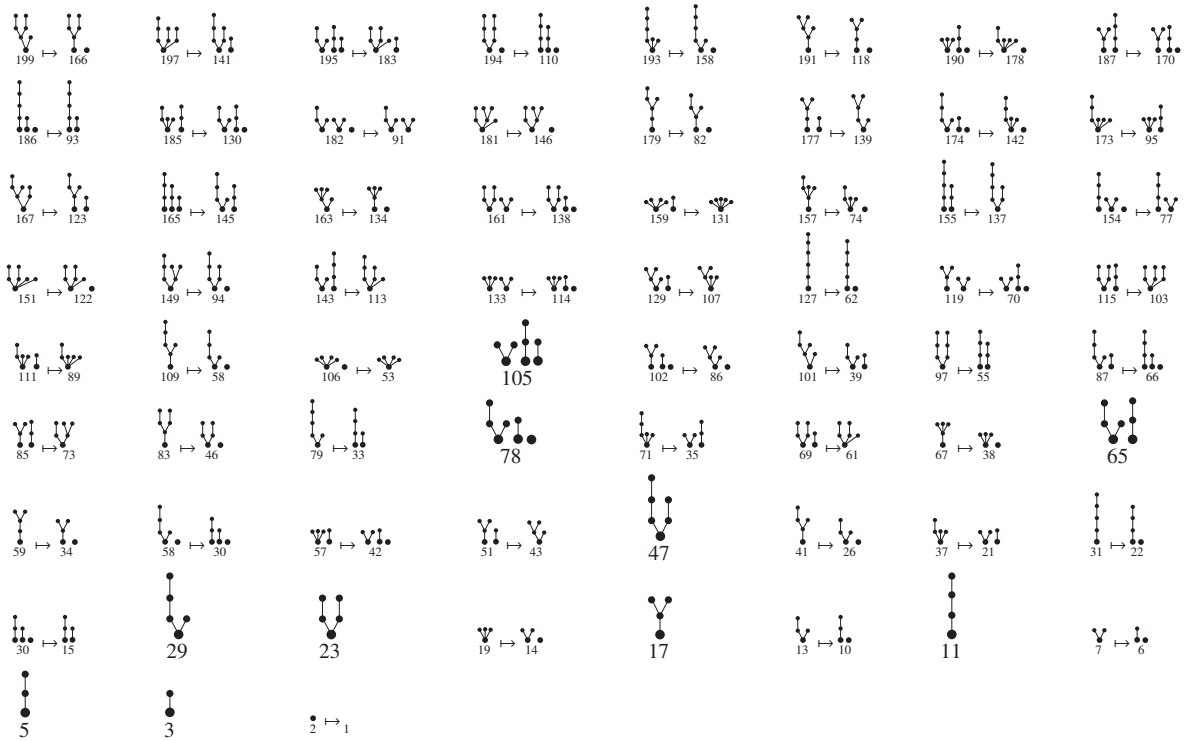


20 nombres sont restés seuls soit à dessein, soit parce que tous les candidats à l'appariement étaient déjà indisponibles. Les nombres contenant au moins un facteur carré sont appariés avec eux-mêmes, et ne sont pas représentés.



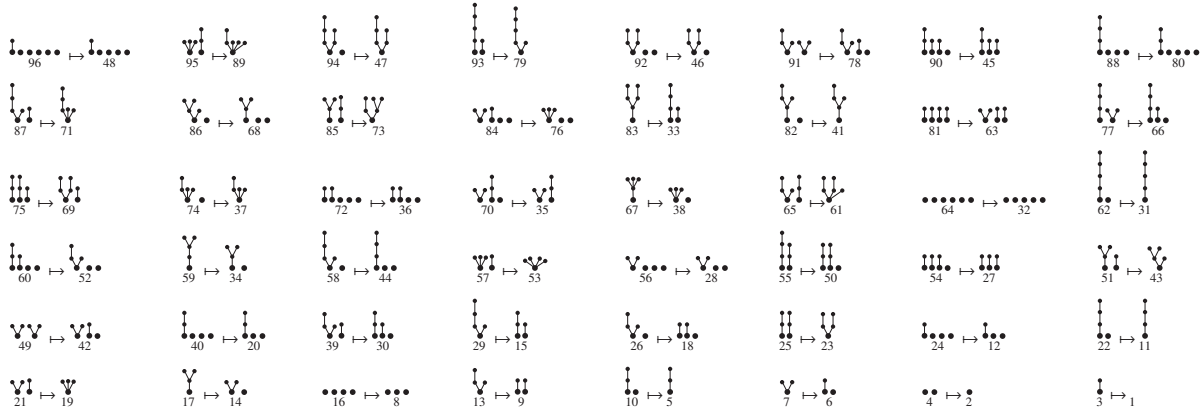


Appendice D : de 1 à 199

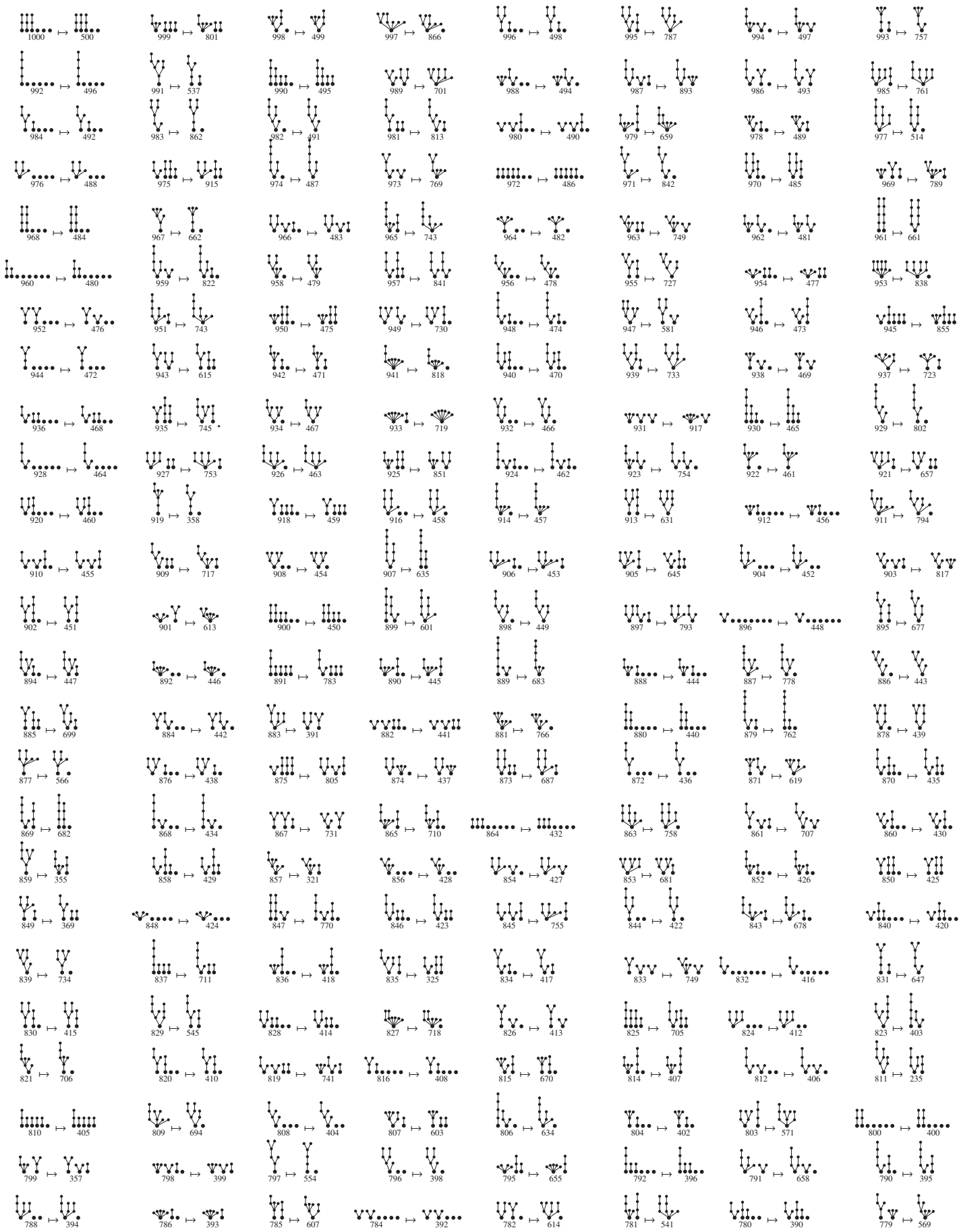


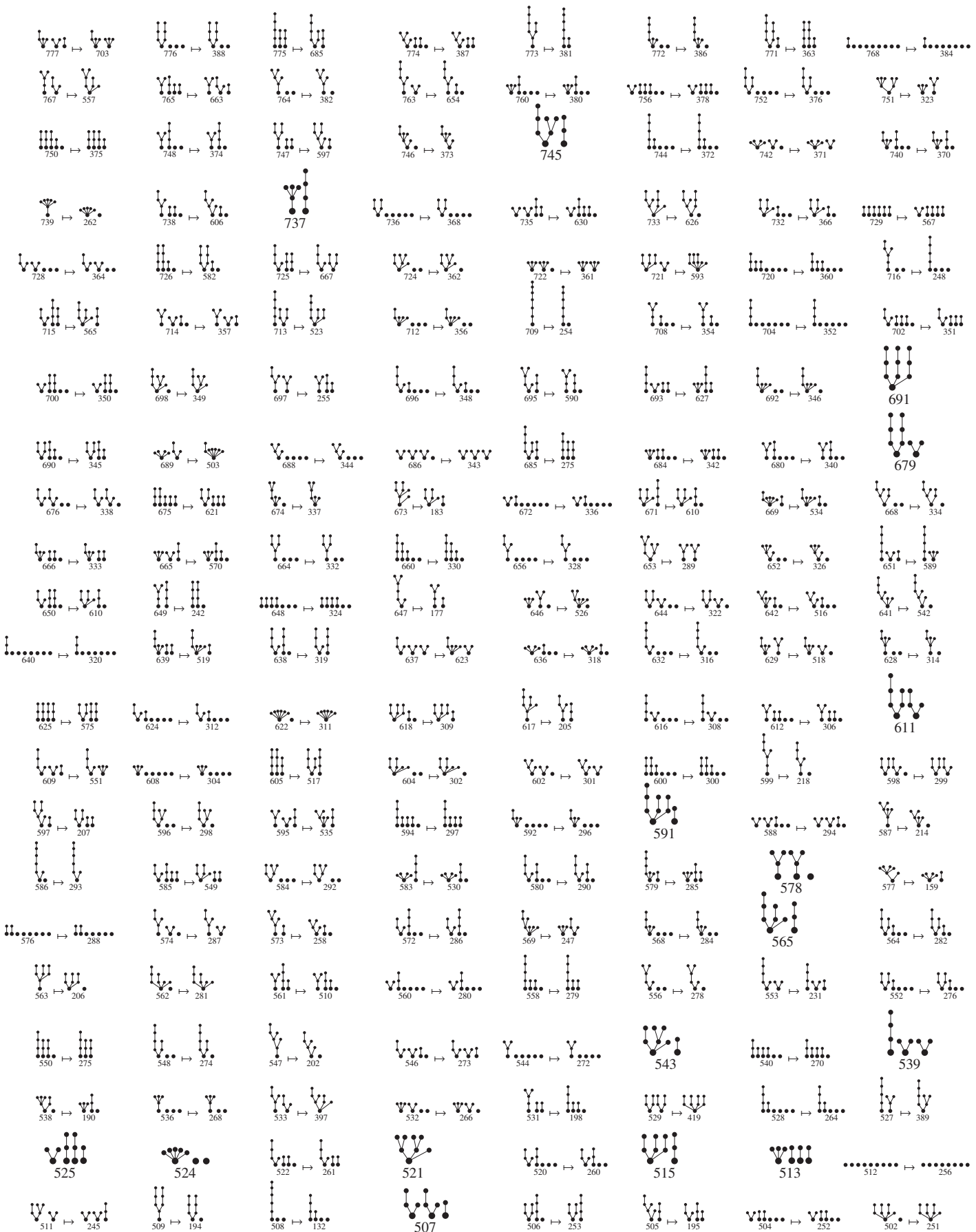
Appendice E : de 1 à 96 avec les facteurs carrés

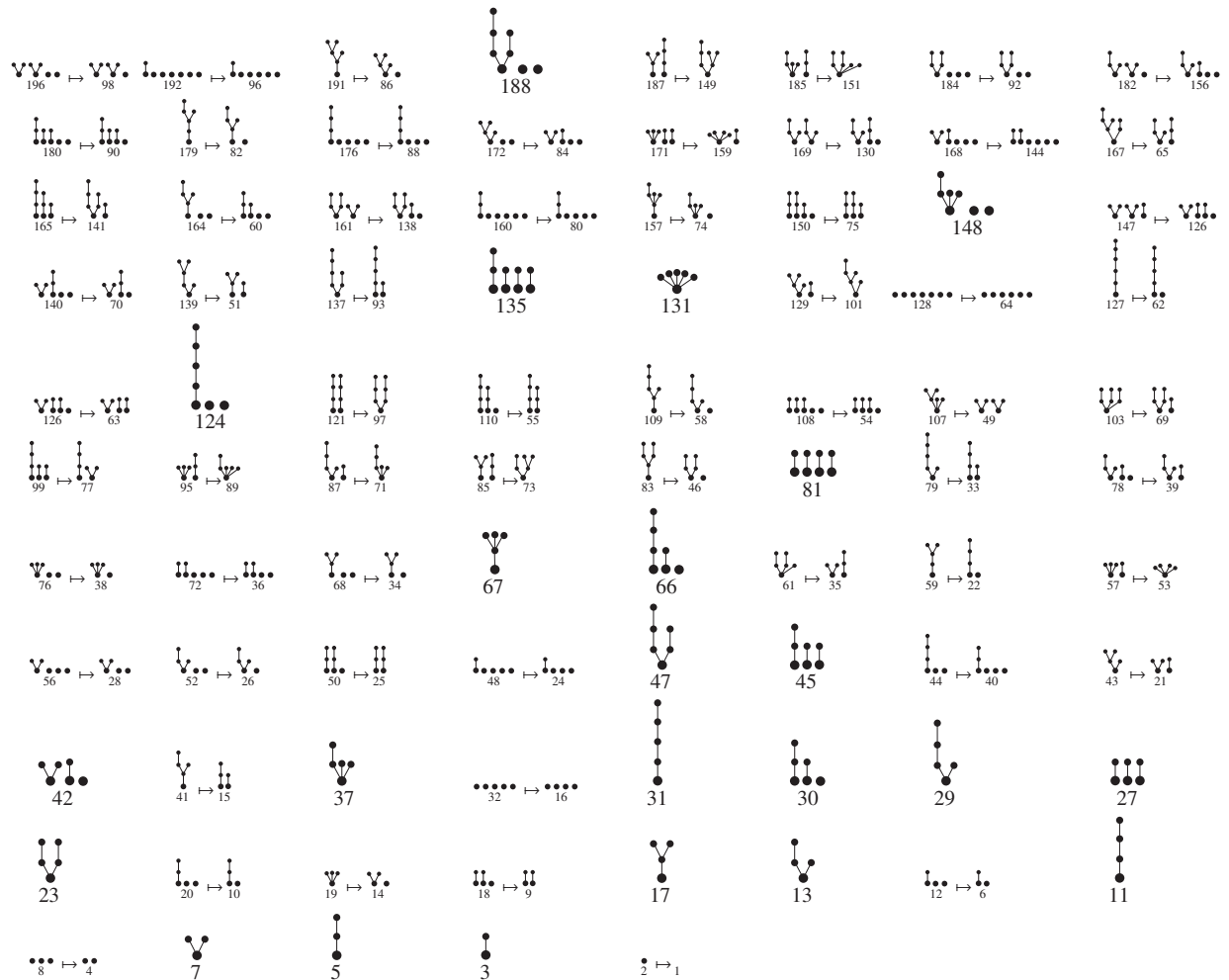
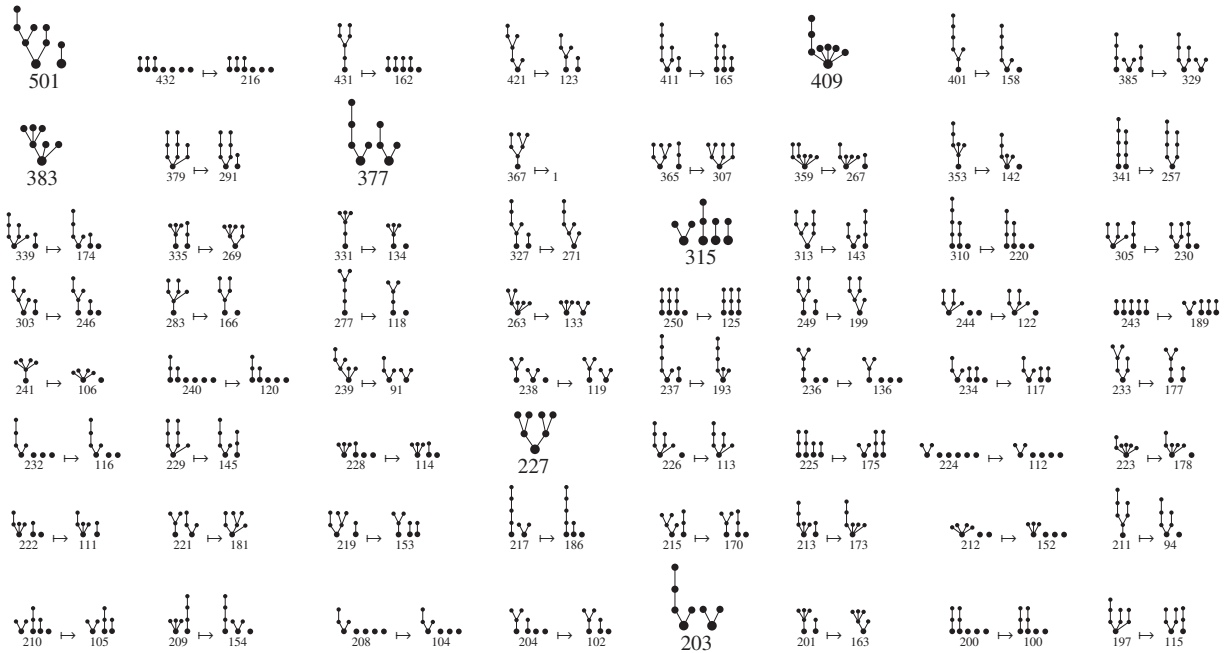
Dans cet exemple, tous les nombres de 1 à 96 ont pu être rangés par paires. Rappelons que 96 est le dernier zéro de la fonction sommatoire de Liouville avant 906 150 256.



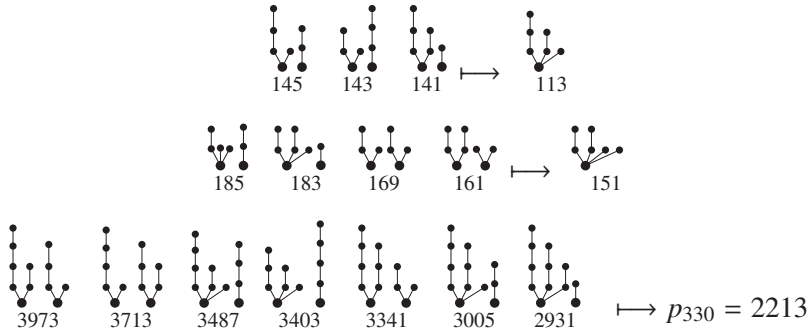
Appendice F : de 1 à 1000 avec les facteurs carrés







Plusieurs manières d'obtenir un nombre premier par fusion des racines



Références

- [1] L. Alexandrov, *On the nonasymptotic prime number distribution*, arXiv:math/9811096v1.
- [2] R. G. Batchko, *A prime fractal and global quasi-self-similar structure in the distribution of prime-indexed primes*, arXiv:1405.2900 (2014).
- [3] P. Borwein, S. Choi, B. Rooney, A. Weirathmueller, *The Riemann hypothesis for the aficionado and the virtuoso alike*, Springer (2006).
- [4] J. C. Butcher, *An algebraic theory of integration methods*, Math. Comp. **26**, 79–106 (1972).
- [5] R. de la Bretèche, G. Tenenbaum, *Sur certaines équations fonctionnelles arithmétiques*, Ann. Institut Fourier **50**, 1445–1504 (2000).
- [6] P. Cappello, *A new bijection between natural numbers and rooted trees*, technical report, 4th SIAM Conference on Discrete Mathematics, San Francisco (1988). sites.cs.ucsb.edu/~cappello/papers/bijections/p.pdf (lien vérifié le 2 février 2026).
- [7] G. Cantor, *Beiträge zur Begründung der transfiniten Mengenlehre*, Math. Ann. **46**, 481–512 (1895) et **49**, 207–246 (1897), in *Gesammelte Abhandlungen*, herausgegeben von Ernst Zermelo, Springer Verlag, Berlin, 282–356 (1932).
- [8] G. Cantor, *Sur les fondements de la théorie des ensembles transfinis*, traduction française de [7] par F. Marotte, Mém Soc. Sci. Phys et Nat. Bordeaux, T. III, 5e série, 343–437 (1899), rééd. Jacques Gabay (1989).
- [9] A. Cayley, *On the theory of the analytical forms called trees*, Phil. Mag. **13**, 172–176 (1857).
- [10] F. Chapoton, M. Livernet, *Pre-Lie algebras and the rooted trees operad*, Int. Math. Res. Not. 2001, 395–408 (2001).
- [11] Z. Chen, *Matula number generator*, s2.smu.edu/~zizhenc/Project/MatulaNumber/ (lien vérifié le 2 février 2026).
- [12] E. Deutsch, *rooted tree statistics from Matula numbers*, Discrete Applied Mathematics **160** No 15, 2314–2322 (2012).
- [13] A. A. V. Dossou-Olory, *The topological trees with extreme Matula numbers*, arXiv:1806.03995.
- [14] P. Dusart, *the k^{th} prime is greater than $k(\ln k + \ln \ln k - 1)$ for $k \geq 2$* , Math. of Computation **68** No 225, 411–415 (1999).
- [15] A. Dzhumadil'daev, C. Löfwall, *Trees, free right-symmetric algebras, free Novikov algebras and identities*, Homology, Homotopy and Appl. 4(2), 165–190 (2002).
- [16] S. B. Elk, I. Gutman, A. Ivić, *Matula numbers for coding chemical structure and some of their properties*, J. Serb. Chem. Soc. **58**, 193–201 (1993).
- [17] P. Erdős, *On a new method in elementary number theory which leads to an elementary proof of the prime number theorem*, Proc. Nat. Acad. Sciences. **35** No7, 374–384 (1949).
- [18] L. Foissy, *Les algèbres de Hopf des arbres enracinés décorés I + II*, thèse, Univ. de Reims (2002), et Bull. Sci. Math. **126**, no. 3, 193–239 et no 4, 249–288 (2002).
- [19] D. F. Goebel, *On a 1-1 correspondence between rooted trees and natural numbers*, J. Combin. Theory **B29**, 141–143 (1980).
- [20] I. Gutman, A. Ivić, *On Matula numbers*, Disc. Math. **150**, 131–142 (1996).
- [21] I. Gutman, Y.-N. Neh, *Deducing properties of trees from their Matula numbers*, Publ. Institut Mathématique, nouvelle série, **53** (67), 17–22 (1993).
- [22] M. Livernet, *A rigidity theorem for pre-Lie algebras*, J. Pure and Appl. Alg. **207**, No 1, 1–18 (2006).
- [23] J-P. Massias, G. Robin, *Bornes effectives pour certaines fonctions concernant les nombres premiers*, J. Th. Nomb. de Bordeaux, **8**, No 1, 215–242 (1996).
- [24] D. W. Matula, *A natural rooted tree enumeration by prime factorization*, SIAM Rev. **10**, 273 (1968).

- [25] D. W. Matula, Z. Chen, *Precise and concise graphical representation of the natural numbers*, IEEE 26th Symposium on Computer Arithmetic (ARITH), DOI 10.1109/ARITH.2019.00027 (2019).
- [26] A. F. Nieto, *Matula numbers, Gödel numbering and Fock space*, J. Math. Chemistry, DOI 10.1007/s10910-013-0178-z (2013).
- [27] B. Riemann, *Über die Anzahl der Primzahlen unter einer gegebenen Größe*, Monatsberichte der Berliner Akademie (Nov. 1859).
- [28] J. B. Rosser, L. Schoenfeld, *Approximate formulas for some functions of prime numbers*, Ill. J. Math. **6**, 64-94 (1962).
- [29] A. Selberg, *An elementary proof of the prime number theorem*, Ann. Math. **50**, 305–313 (1948).
- [30] N. Sloane, *The online encyclopedia of integer sequences*, <http://oeis.org/>
- [31] J. Sousselier, *Nombres et arborescences*, page personnelle (1999),
<http://www.sousselier.com/uploads/ARBOR6.pdf> (lien vérifié le 2 février 202§).
- [32] A. Weiermann, *Analytic combinatorics, proof-theoretic ordinals, and phase transitions for independence results*, Ann. Pure Appl. Logic **136**, 189-218 (2005).
- [33] A. Weiermann, *Monadic second order limit laws for natural well orderings*, arXiv:2007:14111 (2020).

3 février 2026

DOMINIQUE MANCHON, Laboratoire de Mathématiques Blaise Pascal, UMR6620, CNRS - Université Clermont Auvergne, 3 place Vasarély, CS 60026 63178 Aubière, France • E-mail : Dominique.Manchon@uca.fr
 Url : <https://dominiquemanchon.go.yj.fr/>